

ПРИБЛИЖЕННАЯ ОЦЕНКА ПАРАМЕТРОВ НАГРУЖЕНИЯ В КОМПОЗИЦИОННЫХ МАТЕРИАЛАХ ДЛЯ СЛУЧАЯ СИЛЬНЫХ УДАРНЫХ ВОЛН

B. B. Пай, Г. Е. Кузьмин, И. В. Яковлев

Институт гидродинамики им. М. А. Лаврентьева СО РАН,
630090 Новосибирск

Описан простой и достаточно точный метод оценки параметров ударно-волнового нагружения пористых материалов в условиях полного уплотнения материала до плотности монолита.

Основная задача взрывного компактирования пористых армированных и неармированных материалов — получение прочных компактов с плотностью, близкой к монолиту. В технике взрывного нагружения пористых металлических систем принято различать квазистатические и динамические режимы компактирования. В [1] показано, что только динамические режимы обеспечивают получение прочного компакта. Критерии квазистатического или динамического процессов компактирования основываются на оценке величины критического давления в пористой среде, необходимого для реализации того или иного режима деформирования [1].

Повышение точности расчета давления в пористом материале дает возможность более эффективного выбора начальных параметров нагружения для обеспечения динамического режима компактирования по всей глубине исследуемого образца.

Известные к настоящему времени критерии взрывного компактирования в той или иной степени учитывают физико-механические характеристики компактируемого материала и параметры нагружения. Наиболее полный критерий с учетом максимального числа исходных параметров представлен в работе [1]. Однако в литературе отсутствуют результаты аналитических исследований затухания давления во времени или, что равносильно, по глубине нагружаемого образца.

В данной работе предлагается приближенная расчетная схема для оценки параметров нагружения в порошковых материалах в случае сильных ударных волн (УВ), когда за падающей волной процесс компактирования идет до стадии образования монолита.

Рассмотрим компактирование порошка при его нагружении через металлическую пластину (рис. 1). Считаем процесс одномерным, а пластину абсолютно жесткой. Под пластиной M толщиной δ_1 и плотностью ρ_1 находится полубесконечный слой порошка Π с исходной плотностью ρ_{p0} . По порошку со скоростью $U(t)$ распространяется ударная волна, координата которой $y(t)$, а плотность порошка за ней ρ_{p1} . Предполагается, что интенсивность УВ достаточна, чтобы считать $\rho_{p1}/\rho_{p0} = \text{const}$. Обозначим зависимость давления от времени на поверхности пластины $P(t)$. Определим законы движения пластины и фронта ударной волны. При записи уравнения учтем присоединенную массу порошка, как, например, в [2, 3]:

$$P(t) = \frac{d}{dt} [(\rho_1 \delta_1 + \rho_{p0} y(t)) \dot{y}(t)] \frac{\rho_{p1}/\rho_{p0} - 1}{\rho_{p1}/\rho_{p0}}. \quad (1)$$

В (1) использован закон сохранения массы на УВ

$$\rho_{p0}U = \rho_{p1}(U - u). \quad (2)$$

Здесь u — массовая скорость порошка за УВ, равная скорости движения пластины; $U = \dot{y}(t)$ — скорость УВ. Введем вспомогательный параметр

$$\alpha = \frac{\rho_{p1}/\rho_{p0} - 1}{\rho_{p1}/\rho_{p0}}. \quad (3)$$

Дважды интегрируя по времени уравнение (1) при начальных условиях $y(0) = 0$, $\dot{y}(0) = 0$ и разрешая относительно y , получим

$$y(t) = \frac{\rho_1 \delta_1}{\rho_{p0}} \left\{ \left[1 + \frac{2\rho_{p0}}{\alpha \rho_1^2 \delta_1^2} \int_0^t dt \int_0^t P(t) dt \right]^{1/2} - 1 \right\}. \quad (4)$$

Отсюда скорость ударной волны

$$U = \dot{y}(t) = \frac{1}{\alpha \rho_1 \delta_1} \int_0^t P(t) dt \left[1 + \frac{2\rho_{p0}}{\alpha \rho_1^2 \delta_1^2} \int_0^t dt \int_0^t P(t) dt \right]^{-1/2}. \quad (5)$$

Теперь, используя (2), легко найти массовую скорость u , а затем давление в УВ

$$p = \rho_{p0}Uu. \quad (6)$$

Как видно из приведенных выкладок, в отличие от [2, 3], данные об ударных адиабатах материалов здесь не используются, поскольку рассмотрение ограничивается наиболее важным случаем полного уплотнения пористого материала до плотности монолита.

Рассмотрим две распространенные схемы нагружения порошков и конкретизируем для них полученные результаты.

Соударение пластины с порошком. В случае одномерного соударения пластины, двигающейся со скоростью v , с первоначально покоявшимся порошком полный импульс на единицу площади поверхности пластины составляет

$$\int_0^t P(t) dt = \rho_1 \delta_1 v. \quad (7)$$

Из (5) и (7) получаем

$$U = \frac{v}{\alpha} \left(1 + \frac{2\rho_{p0}}{\alpha \rho_1 \delta_1} vt \right)^{-1/2}, \quad (8)$$

а из (2) находим

$$u = v \left(1 + \frac{2\rho_{p0}}{\alpha \rho_1 \delta_1} vt \right)^{-1/2}. \quad (9)$$

Из соотношений (6), (8), (9) определяем давление за УВ в порошке

$$p = \frac{\rho_{p0} v^2}{\alpha} \left(1 + \frac{2\rho_{p0}}{\alpha \rho_1 \delta_1} vt \right)^{-1}. \quad (10)$$

Выражения (8)–(10) с учетом (3) полностью решают поставленную задачу.

Нагружение порошка через пластины, находящуюся с ним в контакте. Пусть теперь порошок, закрытый металлической пластиной, нагружается продуктами взрыва при детонации на ее поверхности заряда ВВ толщиной δ_0 и плотностью ρ_0 . Чтобы получить формулу распределения давления на пластине, рассмотрим задачу о ее метании продуктами взрыва при скользящей детонации. Представляя пластину, как набор материальных элементов площадью ΔS и массой $\rho_1 \delta_1 \Delta S$ каждый, запишем уравнение движения такого элемента по криволинейной траектории

$$\rho_1 \delta_1 D^2 / R = P. \quad (11)$$

Здесь D — скорость детонации ВВ; R — радиус кривизны траектории, определяемый по известной формуле:

$$\frac{d\beta}{dl} = \frac{1}{R}, \quad (12)$$

где β — угол наклона касательной к кривой, dl — элемент дуги.

Выражение для угла β подберем по результатам численных расчетов метания пластины [4] в виде

$$\beta = \frac{\pi}{2} \{ [(k+1)/(k-1)]^{1/2} - 1 \} \cdot f(r, s), \quad (13)$$

k — показатель политропы продуктов взрыва; $r = \rho_0 \delta_0 / \rho_1 \delta_1$; $s = l / \delta_0$; l — координата вдоль пластины, отсчитываемая от фронта детонации.

Итак, задача о распределении давления на поверхности пластины в условиях скользящей детонации сводится к подбору функции $f(r, s)$. Поскольку в рассматриваемом приближении значения угла β удовлетворяют следующим физически очевидным условиям:

$$\begin{aligned} \beta(0, s) &= 0, & \beta(r, 0) &= 0, \\ \beta(\infty, s) &= \beta_{\max} = \frac{\pi}{2} \{ [(k+1)/(k-1)]^{1/2} - 1 \}, \end{aligned}$$

где β_{\max} — предельный угол поворота потока при полном течении Прандтля — Майера для заданного k , то для функции $f(r, s)$ должны быть выполнены асимптотики:

$$\begin{aligned} s \rightarrow 0: & \quad f(r, s) \rightarrow 0, \\ s \rightarrow \infty: & \quad f(r, s) \rightarrow \varphi(r), \\ r \rightarrow 0: & \quad f(r, s) \rightarrow 0, \\ r \rightarrow \infty: & \quad f(r, s) \rightarrow 1. \end{aligned} \quad (14)$$

На основании результатов двумерных расчетов метания [4] будем искаль $f(r, s)$ в виде

$$f(r, s) = \varphi(r) [1 - e^{-\frac{\alpha rs}{\varphi(r)}}], \quad (15)$$

причем $\varphi(r) \rightarrow 1$ при $r \rightarrow \infty$. Заметим, что при $s = 0$ (т. е. в точке касания фронта детонации с пластиной) P равно давлению на фронте детонации:

$$P_D = \frac{\rho_0 D^2}{k+1}, \quad (16)$$

следовательно, из (11)–(13) получаем

$$\left. \frac{d\beta}{ds} \right|_{s=0} = \frac{r}{k+1}$$

и тогда из (15)

$$\alpha = \frac{2}{\pi(k+1)\{(k+1)/(k-1)]^{1/2} - 1\}}. \quad (17)$$

Возьмем функцию $\varphi(r)$ в виде

$$\varphi(r) = \frac{r}{r+a}, \quad (18)$$

тогда все предельные условия (14) выполняются. Константу a подбираем, как и в [5], методом наименьших квадратов, исходя из результатов экспериментов и двумерных расчетов метания.

Если учесть, что $t = l/D$, то из (11)–(18) получаем искомое выражение для давления на поверхности

$$P = P_D e^{-\alpha(r+a)tD/\delta_0}. \quad (19)$$

Полученное распределение давления справедливо для случая свободного метания пластины продуктами взрыва при скользящей детонации и с точностью не хуже 3 % совпадает с результатами численного решения задачи в двумерной стационарной постановке [4] при $0 < r < 3$, $2 < k < 3,5$. Экспоненциальный вид зависимости $P(t)$ на основании расчетов [4] предложен в работе [6].

Для расчета параметров УВ в порошке в первом приближении воспользуемся формулой (19). В рассматриваемом случае, когда под пластиной находится слой порошка, движение пластины можно считать практически одномерным и тогда из (4), (19) получаем положение УВ

$$y = \frac{\rho_1 \delta_1}{\rho_{p0}} \left\{ \left[1 + \frac{2\rho_{p0} r^2 (e^{-ct} + ct - 1)}{\alpha^2 \varepsilon (k+1)(r+a)^2 \rho_0} \right]^{1/2} - 1 \right\}, \quad (20)$$

где $c = \alpha(r+a)D/\delta_0$. Теперь, используя (2), (5) и (6), можно найти U , u и p . Запишем только формулу для давления

$$p = \left[\frac{Dr(1 - e^{-ct})}{\alpha(k+1)(r+a)} \right]^2 \left[1 + \frac{2\rho_{p0} r^2 (e^{-ct} + ct - 1)}{\alpha^2 \varepsilon (k+1)(r+a)^2 \rho_0} \right]^{-1} \frac{\rho_{p0}}{\varepsilon}. \quad (21)$$

Соотношение (20) позволяет также найти теоретическую форму УВ в порошке, если исключить из него и из выражения для длины дуги параметр t .

Таким образом, для случая компактирования пористого материала до плотности монолита в первой УВ при двух рассмотренных схемах нагружения получены зависимости давления (10) и (21), а также кинематических параметров нагружения как функций от времени распространения сильной УВ в материале.

Для проверки применимости полученных результатов к задачам оценки параметров ударного нагружения пористых материалов сильными УВ выполнен эксперимент по схеме рис. 2, в котором реостатным методом [7], адаптированным к данному случаю, определялась форма УВ в материале. Заряд ВВ 1 размещается на поверхности пластины 2, покрывающей исследуемый материал 3, в котором располагается реостатный датчик 4 в виде отрезка никромового провода в лаковой изоляции, натянутого под некоторым углом к поверхности пластины. В ходе эксперимента УВ, превращая порошок в монолитный материал, изменяет длину изолированной части датчика. Измерив сопротивление датчика со временем и зная скорость детонации ВВ, легко определить профиль ударной волны 5 в порошке. Детали метода рассмотрены в [7].

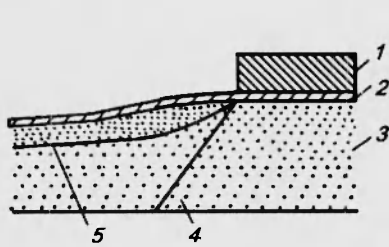


Рис. 2.

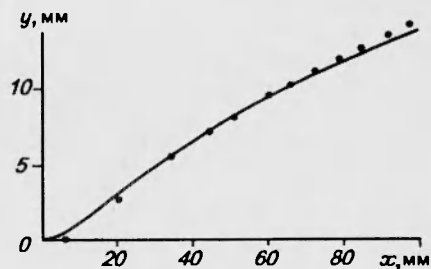


Рис. 3.

На рис. 3 сравниваются экспериментальная (точки) и рассчитанная (линия) формы УВ для одного опыта. В этом опыте по схеме рис. 2 зарядом гексогена ($\rho_0 = 1,0 \text{ г}/\text{см}^3$, $\delta_0 = 20 \text{ мм}$, $D = 6,3 \text{ км}/\text{с}$, $k = 2,8$) через медную пластину ($\rho_1 = 8,9 \text{ г}/\text{см}^3$, $\delta_1 = 2 \text{ мм}$, длина 180 и ширина 90 мм) нагружался пористый материал ($\rho_{p0} = 4,53 \text{ г}/\text{см}^3$, $\rho_{p1} = 8,4 \text{ г}/\text{см}^3$, откуда в (3) и далее $\alpha \approx 0,46$) в виде сечки из латунной проволоки (длина элемента $2 \pm 0,1$, диаметр проволоки $0,2 \text{ мм}$). Из рис. 3 видно, что расхождение результатов расчета с экспериментом не превышает 5 %. Для достижения большей точности можно в качестве следующего приближения уравнение (11), описывающее форму пластины, записать с учетом противодавления со стороны порошка. После этого следует заново решить задачу метания для такой системы и полученное распределение давления подставить в соотношение (4). Соответствующие расчеты показали, что давление на поверхности от такой корректировки меняется незначительно, а следовательно, мало меняются и остальные результаты. Отметим, что хотя в продуктах детонации из-за наличия на пластине точки перегиба возникают волны сжатия, приводящие к некоторому повышению давления на поверхности, они слабо влияют на форму УВ в порошке. Это объясняется слабой интенсивностью волн сжатия и интегральным видом зависимости формы волны в порошке от распределения давления на его поверхности.

ЛИТЕРАТУРА

1. Нестеренко В. Ф. Импульсное нагружение гетерогенных материалов. Новосибирск: Наука, 1992.
2. Штерцер А. А. Определение параметров прессования пористых тел зарядом ВВ через металлическую пластину // Физика горения и взрыва. 1982. Т. 18, № 1. С. 141–143.
3. Deribas A. A., Staver A. M., Shertser A. A. Some aspects of explosive compaction of porous layers // 8th Int. Conf. High Energy Rate Fabrication, San Antonio, Texas, 17–21 June, 1984. Р. 111–113.
4. Дерибас А. А., Кузьмин Г. Е. Двумерная задача о метании пластины скользящей детонационной волной // ПМТФ. 1970. № 1. С. 177–180.
5. Кузьмин Г. Е. О метании пластин в условиях сварки взрывом // Динамика сплошной среды: Сб. науч. тр. / АН СССР. Сиб. отд-ние. Ин-т гидродинамики. 1979. Вып. 29. С. 137–142.
6. Vacek J. The acceleration of metal plates packing an explosive charge on both sides // 1st Int. Symp. Explosive cladding. Marianske Lazne, 5–9 Oct., 1970. Р. 79–92.
7. Кузьмин Г. Е., Мали В. И., Пай В. В. О метании плоских пластин слоями конденсированных ВВ // Физика горения и взрыва. 1973. Т. 9, № 4. С. 558–562.

Поступила в редакцию 27/VI 1994 г.